

# شبکهٔ دو بعدی متعامد منطبق بر مرز برای جریانهای خارجی و داخلی با استفاده از تبدیل شوارتز-کریستوفل

سید حسین منصوری<sup>\*</sup>، سید مسعود حسینی سوروی<sup>\*\*</sup>، علی کشاورز<sup>\*\*\*</sup> و محمد رهنما<sup>\*\*\*\*</sup>

بخش مهندسی مکانیک دانشگاه شهید باهنر

بخش مهندسی کشتی دانشگاه سیستان و بلوچستان

(دریافت مقاله: ۱۳۷۵/۶/۱۴ - دریافت نسخهٔ نهایی: ۱۳۷۵/۳/۲۰)

چکیده - در این مقاله، روش تولید شبکهٔ دو بعدی متعامد منطبق بر مرز برای تنوع گسترده‌ای از اجسام در جریانهای خارجی و داخلی بر پایه انتگرال گیری عددی از تبدیل شوارتز-کریستوفل ارائه شده است. برای اولین مرتبه در این مورد از نرم افزار متمتیکا<sup>۱</sup> به دلیل توانایی‌های بالای آن در انجام عملیات سمبولیک، عددی و گرافیکی استفاده شده است. از ویژگی‌های این روش، دقیق بالای آن (مرتبهٔ پنجم)، در برگرفتن تمامی اشکال با هندسه‌های گوناگون در جریانهای خارجی و داخلی، توانایی تولید شبکه‌های متعامد و کنترل فضای شبکه است. برای جریانهای داخلی و اشکال دو بعدی همبند ساده یا همبند چندگانه متقارن در جریانهای خارجی شبکه می‌تواند منطبق بر حل جریان پتانسیل سیال تراکم ناپذیر باشد. برای اشکال دو بعدی همبند چندگانه کلی در جریانهای خارجی، یک شبکه نوع C تولید می‌شود. مثالهای نمونه شامل جریان خارجی روی تپه‌های خاکی، ایرفویلهای متقارن، نیم‌رخ خودروها و شبکه نوع C برای ایرفویلهای نامتقارن و جریان داخلی درون مجراهای با اشکال مرزی دلخواه ارائه شده است. همچنین، برای سهولت انجام محاسبات، یک برنامه کامپیوتری در محیط متمتیکا تهییه شده است.

## Two-Dimensional Boundary-Conforming Orthogonal Grids for External and Internal Flows Using Schwarz-Christoffel Transformation

S. H. Mansouri, S. M. Hosseini Sarvari, A. Keshavarz and M. Rahnama

Department of Mechanical Eng., Shahid Bahonar University of Kerman

Department of Marine Eng., Sistan and Baluchestan University

**ABSTRACT-** In this paper, a Schwarz-Christoffel method for generating two-dimensional grids for a variety of complex internal and external flow configurations based on the numerical intergration procedure of the

\* دانشیار      \*\* مریم      \*\*\* استادیار      \*\*\*\* مریم

## فهرست علامت

مدار خط	err	داخلی	ثابت مختلط	A
بالانویسهها	h	فاصله مرزپایینی و بالایی	ثابت مختلط	B
مدار همگرایی	c	محرا	صفحه فیزیکی	$z(x, y)$
مدار محاسبه شده در هر مرحله تکرار	v	زاویه دوران در هر رأس	صفحه محاسباتی	$\omega(\xi, \eta)$
		کثیرالا ضلاع	صفحه واسطه برای جریان	$\zeta(\sigma, \delta)$

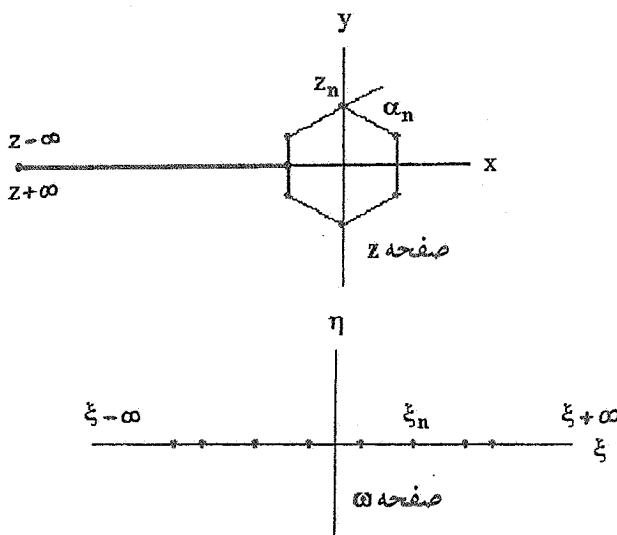
*Schwarz-Christoffel transformation has been developed by using Mathematica, which is a general purpose symbolic-numerical-graphical mathematics software. This method is highly accurate(fifth order) with mesh size, and is highly flexible for treatment of complex internal flow geometries, for a high degree of control of mesh spacing, and for generation of either orthogonal or non-orthogonal grids. In addition, this method directly generates two-dimensional incompressible potential flow solutions for internal flow, and simply or symmetrical multiply connected external flows: it generates a C type grid for a general multiply connected two-dimensional external flow. The capabilities of this method has been shown by sample cases including external flow over symmetric and antisymmetric airfoils, a car profile, and internal flows with arbitrary shapes. To facilitate further applications, a computer program using Mathematica software has been developed.*

### اعمال شوند که عاملی برای افزایش دقت حل است [۱].

در گذشته، نگاشت همدیس<sup>۲</sup> برای حل جریان پتانسیل روی اشکال نه چندان پیچیده با معلوم بودن رفتار جریان استفاده می شد [۲]. ولی امروزه نگاشت همدیس به صورت یک روش برای تولید شبکه بدون هیچ قیدی روی نوع جریان استفاده می شود. در عمل، خطوط شبکه تولید شده می توانند منطبق بر خطوط جریان و خطوط هم پتانسیل یک مسئله جریان پتانسیل ایده آل انتخاب شوند. غالباً این کار به پایداری روش محاسباتی مورد استفاده در حل جامع مسئله کمک می کند [۳]. ارزیابی روش‌های مختلف نگاشت همدیس در مراجع [۴ و ۵] ارائه شده است. یکی از مزایای سیستمهای همدیس ایجاد کمترین تعداد جملات اضافی در معادلات دیفرانسیل جزیی تبدیل یافته است. برای مثال، اشکالی نظری ایرفویلها<sup>۳</sup> و پره‌های توربوماشینها توسط یک یا چند تبدیل ساده به شکلی نزدیک به یک دایره نگاشت می شود. برای همگرایی، لازم است که شکل نزدیک به دایره به اندازه کافی شبیه یک دایره کامل باشد. ابیوس [۶]، مجموعه‌های متواالی از تبدیلها را برای نگاشت یک ایرفویل یک جزیی به یک دایره واحد و ایرفویلهای چند جزیی به فضای حلقه‌ی دوایر هم مرکز ارائه

### ۱- مقدمه

حل دقیق مسائل جریان خارجی و داخلی با هندسه‌های پیچیده، همچون جریان خارجی روی اجسام خط جریانی، مقاطع بالها، تپه‌های خاکی، ساختمانها و نیم‌رخ اتومبیلها و جریان داخلی درون مجاری با اشکال مرزی دلخواه یکی از موارد مورد علاقه محققان در دینامیک سیالات محاسباتی است. در مسائل جریانهای بارینولدز بالا که در آنها نواحی جریانهای برگشتی و امواج ضربه در سرعتهای بالا ممکن است ایجاد شود، انتخاب یک سیستم مختصات مناسب نقش مهمی را در حل مؤثر و دقیق یک مسئله ایمامی کند. برای مسائل جریان لزج، سیستم مختصات می تواند شکل معادلات جریان، اعمال دقیق شرایط مرزی و مقدار خطای انقطع‌ناشی از تقریبهای پدید آمده در اثر انفصل معادلات جریان را تعیین کند. تولید یک سیستم مختصات مناسب برای یک هندسه پیچیده مشکل است. زیرا، سیستم مختصات باید نه تنها فرمولیندی و حل عددی مسئله را سهولت بخشد، بلکه خطاهای ناشی از روش حل معادلات حاکم تبدیل یافته را بسیار ساده می کنند. همچنین، شرایط مرزی می توانند با دقت زیادی در سیستمهای مختصات متعارف



شکل ۱- نگاشت مرز کثیرالاصلاء در صفحه  $z(x,y)$  به نیم صفحه بالایی  $(\xi,\eta)$

که در آن  $N$  تعداد ضلعهای (یا رئوس) کثیر الاصلاع و  $a_n$  زاویه دوران در هر راس کثیر الاصلاع (در جهت پاد ساعتگرد) است. مقادیر  $a_n$  متناظر با رئوس کثیر الاصلاع از معادلات زیر به دست می‌آیند:

$$a_n = \arg(z_{n+1} - z_n) - \arg(z_n - z_{n-1}), \quad n = 1, 2, \dots, N$$

که در آن مقادیر  $z_n$  رئوس کثیر الاصلاع در صفحه  $z$  هستند. شکل (۲) تصویر یک کثیر الاصلاع نمونه در صفحه  $z$  را نشان می‌دهد. نقاط  $\xi_n$  مکانهایی نامعلومی روی محور حقیقی در صفحه  $\omega$  متناظر با رئوس  $z_n$  کثیر الاصلاع در صفحه  $z$  هستند. براساس قضیه ریمان، مکان سه نقطه از نقاط  $\xi_n$  اختیاری است.  $A$  یک ثابت مختلط است که به هندسه میدان فیزیکی بستگی دارد [۲]. از آن جایی که مقادیر  $\omega \pm i0^\circ$  متناظر با رئوس  $z \pm \infty$  در صفحه  $z$  در معادله (۱) حذف می‌شوند، با در نظر گرفتن یک کثیرالاصلاء  $N+1$  ضلعی در صفحه  $z$  با راس  $A$  در  $\omega = \pm \infty$ ، از معادله (۱) می‌توان استفاده کرد.

در اصل می‌توان یک شبکهٔ یکنواخت در صفحه  $\omega$  طرح کرد و از نگاشت معکوس  $(\omega, z)$  برای تولید شبکهٔ مورد نظر در صفحه فیزیکی استفاده کرد. برای به دست آوردن تابع نگاشت  $(\omega, z)$  با انتگرال گیری از معادله (۱) خواهیم داشت:

کرده‌است. معیری و تقدیری [۷] از انتگرال کوشی برای تولید شبکه در جریانهای داخلی دو بعدی یا مرزهای هموار و پیوسته استفاده کرده‌اند. کاربرد تبدیل شوارتز-کریستوفل برای اشکال دلخواه، این روش را به عنوان ابزار نیرومندی برای ایجاد شبکه در جریانهای داخلی مطرح کرده‌است. اسریدهار و دیسویس [۸] از تبدیل شوارتز-کریستوفل برای تولید سیستم مختصات برای تنوعی گسترده‌ای از جریانهای داخلی استفاده کرده‌اند.

در این مقاله، از تبدیل شوارتز-کریستوفل برای تولید سیستم مختصات در جریانهای خارجی و داخلی دو بعدی استفاده شده‌است. برای اشکالی که در جریان خارجی توسط یک کثیر الاصلاع مناسب تقریب زده می‌شوند، یک نگاشت یک مرحله‌ای از صفحه محاسباتی به صفحه فیزیکی و برای جریانهای داخلی یک نگاشت دو مرحله‌ای ارائه خواهد شد. همچنین چگونگی انتگرال گیری عددی با حذف نقاط منفردی که در گوشه‌های کثیر الاصلاع واقع شده‌اند، شرح داده می‌شود. برای نواحی همبند ساده و همبند چند گانه با تقارن محوری در جریانهای خارجی و داخلی، این سیستم مختصات برخلاف جریان پتانسیل یک سیال تراکم ناپذیر معادل منطبق خواهد بود. برای نواحی همبند چند گانه کلی در جریانهای خارجی، یک شبکه نوع C ایجاد می‌شود. به منظور تشریح قابلیت کاربرد این روش، چندین مثال نمونه ارائه خواهد شد.

## ۲- فرمولبندی و روش حل

### ۱- تابع نگاشت

الف - جریان خارجی - تبدیل شوارتز-کریستوفل به ناحیه محدود شده با یک کثیر الاصلاع بسته در صفحه  $(x, y)$  اجازه می‌دهد تا به نیم صفحه فوقانی صفحه  $(\xi, \eta)$  نگاشت شود. در صفحه  $\omega$  مرز کثیر الاصلاع منطبق بر محور حقیقی خواهد بود. با ایجاد یک برش انشعاب، می‌توان ناحیه بین کثیر الاصلاع با بینهایت در صفحه  $z$  را به عنوان ناحیه محدود شده در نظر گرفت، شکل (۱). بنابراین از تبدیل شوارتز-کریستوفل برای تولید شبکهٔ جریان خارجی می‌توان استفاده کرد.

شکل مرسوم تبدیل شوارتز-کریستوفل به صورت زیر است:

$$\frac{dz}{d\omega} = A \prod_{n=1}^N (\omega - \xi_n)^{\frac{-a_n}{\pi}} \quad (1)$$

می تواند در صفحه  $\omega$  از مکانهای  $i\varepsilon + \omega$  که در آن  $\varepsilon$  یک مقدار بسیار کوچک (برای مثال  $10^{-10}$ ) است، عبور کند.

ب - جریان داخلی - فرض کنید مرز پایین مجرای  $N_1$  جریان داخلی یک  $N_1$  ضلعی و مرز بالای مجرای  $N_2$  ضلعی باشد، در این صورت شکل مجرای  $N_1 + N_2$  را دو راس از کثیرالاصلای در  $\pm\infty$  قرار دارند. حال مرز کثیرالاصلای را روی محور حقیقی صفحه  $\zeta$  باز می‌کنیم. در این صورت رأس  $Z_{N_1+1}$  به نقطه  $\sigma_{N_1+1}$  و رأس  $Z_{N_2+1}$  به  $\pm\infty$  روی محور حقیقی صفحه  $\zeta$  انتقال می‌یابد، شکل(۲).

از آن جایی که مقادیر  $\sigma_{N_1+1} = \pm\infty$  متناظر با  $Z_{N_1+1}$  در تبدیل شوارتز-کریستوفل حذف می‌شوند، می‌توان نوشت:

$$\frac{dz}{d\xi} = A \prod_{n=1}^N (\xi - \sigma_n)^{\frac{-a_n}{\pi}} \quad (5)$$

که در آن  $a_n$  زاویه دوران در هر راس کثیرالاصلای و  $\sigma_n$  مکانهای نامعلومی روی محور حقیقی صفحه  $\zeta$  هستند. مقادیر  $a_n$  متناظر با رئوس کثیرالاصلای از مقادیر زیر به دست می‌آیند:

$$a_n = \begin{cases} \arg(z_{n+1} - z_n) - \arg(z_n - z_{n-1}) & n = 1, 2, \dots, N_1, \\ \pi & n = N_1 + 1, \\ \arg(z_n - z_{n-1}) - \arg(z_{n+1} - z_n) & n = N_1 + 2, \dots, N_2 \end{cases}$$

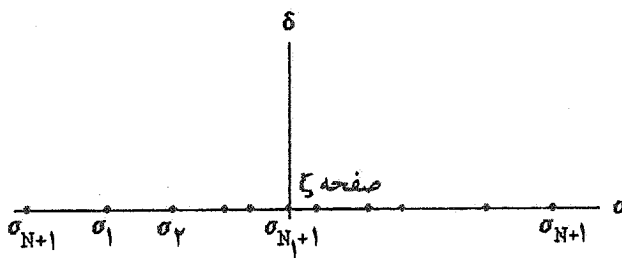
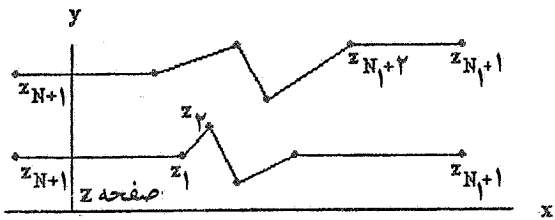
که در آن  $z_n$  رئوس کثیرالاصلای در صفحه  $z$  هستند. در ابتدا، یک شبکه مستطیلی یکنواخت می‌تواند در صفحه  $\omega$  طرح شود. در این صورت از نگاشت

$$\zeta(\omega) = e^\omega \quad (6)$$

برای تولید شبکه جریان یک چاه (یا چشم) در نقطه  $(0, 0)$  در صفحه  $\zeta$  استفاده می‌شود، شکل(۳).

برای به دست آوردن تابع نگاشت  $\zeta(\omega)$  با انتگرال گیری از معادله (۵) خواهیم داشت:

$$z(\zeta) = A \int_{\zeta}^{\infty} \prod_{n=1}^N (\zeta - n)^{\frac{-a_n}{\pi}} d\zeta + B \quad (7)$$



شکل ۲- نگاشت مرز کثیرالاصلای در صفحه  $z(x,y)$  به

نیم صفحه بالایی  $(\sigma, \delta)$

$$z(\omega) = A \int_{\omega_0}^{\omega} \prod_{n=1}^N (\omega - \xi_n)^{\frac{-a_n}{\pi}} d\omega + B \quad (2)$$

که در آن  $\omega_0$  نقطه ای روی محور حقیقی یا نیم صفحه فوقانی صفحه  $\omega$  و  $B$  یک ثابت مختلط است. تبدیل (۲) را می‌توان ناشی از دو نگاشت متوالی از صفحه  $\omega$  به صفحه  $u$  و سپس به صفحه  $z$  تصویر کرد، به طوری که

$$u(\omega) = \int_{\omega_0}^{\omega} \prod_{n=1}^N (\omega - \xi_n)^{\frac{-a_n}{\pi}} d\omega \quad (3)$$

$$z(u) = Au + B \quad (4)$$

در صورتی که مکان قطبهای  $\xi_n$  در صفحه محاسباتی معلوم باشند، تابع  $u(\omega)$  محور حقیقی صفحه  $\omega$  را به یک کثیرالاصلای متشابه با کثیرالاصلای مورد نظر در صفحه  $z$  نگاشت می‌کند.  $z(u)$  یک تابع خطی است که کثیرالاصلای صفحه  $u$  را به کثیرالاصلای مورد نظر در صفحه  $z$  نگاشت می‌کند.

به جز حالتهای ساده، اگر موقعیت قطبهای  $\xi_n$  معلوم باشند، برای انتگرال گیری از معادله (۳) باید از روش‌های عددی استفاده کرد. با این حال در نزدیکی نقاط  $\xi_n$  به علت ماهیت منفرد معادله در  $\zeta = \omega$  مشکل به وجود می‌آید. بنابراین، مسیر انتگرال گیری

معادله (۳) به صورت عددی انتگرال گیری کرد. به منظور سرعت بخشیدن به انتگرال گیری می‌توان به صورت زیر عمل کرد:

(۱۰)

$$u_m^v = \begin{cases} 0 & m = 1, \\ u_{m-1}^v + \int_{\xi_{m-1}}^{\xi_m} \prod_{n=1}^N (\omega + i - \xi_n^v)^{\frac{-a_n}{\pi}} d\omega & m = 2, 3, \dots, N \end{cases}$$

در این صورت هر مقدار  $u_m^v$  از مقدار قبلی  $u_{m-1}^v$  حاصل می‌شود.  
بدیهی است که اگر مکانهای  $\omega$  روی محور حقیقی صفحه  $u$  درست انتخاب شده باشند، کثیر الاصلاع به دست آمده در صفحه  $u$  مشابه با کثیر الاصلاع موردنظر در صفحه فیزیکی  $z$  خواهد بود. با این حال توزیع نقاط  $\omega$  غالباً صحیح نیست. از این رو، برای به دست آوردن کثیر الاصلاع در صفحه  $z$  در هر تکرار می‌توان از معادله زیر استفاده کرد:

$$z_m = A^v u_m + B \quad (11)$$

به طوری که،

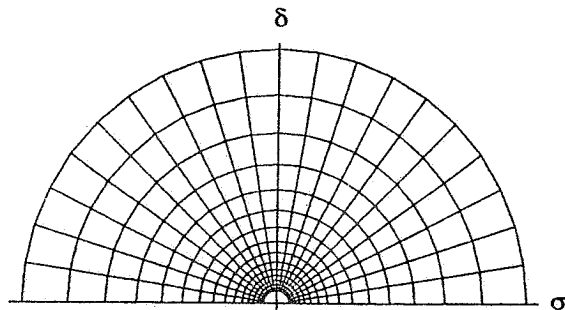
$$\begin{cases} A^v = \frac{\text{Max} |z_1^c - z_N^c|}{|u_1^v - u_N^v|} e^{i\theta_N}, & n = 1, 2, \dots, N \\ B = z_1^c \end{cases}$$

که در آن  $\theta_N$  راویه امتداد  $z_{N-1}^c$  با افق است، و مقدار آن برابر است با:

$$\theta_N = \arg(z_N^c - z_{N-1}^c)$$

معیاری از نسبت یک طول مشخص در صفحه  $z$  به صفحه  $u$  است. از آن جایی که نقطه  $\omega$  در هر تکرار به نقطه  $0$  نگاشت می‌شود، ثابت  $B$  در هر تکرار نقطه  $u$  را به  $z_N^c$  نگاشت می‌کند. ساختار تبدیل شوارتز-کریستوفل به گونه‌ای است که درستی زوایای رئوس کثیر الاصلاع حاصل در صفحه  $z$  در هر مرحله تکرار را تضمین می‌کند. از این رو، تنها مکان رئوس (طول اصلاح) کثیر الاصلاع به ازای مقادیر دلخواه حدسی  $n$  دارای خطای هستند شکل (۴).

معیار سنجش خطای ازای تمام نقاط  $N, \dots, 1, 2, \dots, m$  اختلاف فاصله بین نقاط  $z_m^c$  به دست آمده و نقاط  $z_m^v$  است.



شکل ۳- شبکه واسطه  $(\sigma, \delta)$

که در آن  $\omega$  نقطه‌ای روی محور حقیقی یا نیم صفحه فوکانی  $\omega$  و  $A$  و  $B$  ثابت‌های مختلط‌اند [۲]. مانند جریانهای خارجی مسیر انتگرال گیری می‌تواند در صفحه  $z$  از مکانهای  $i\varepsilon + \omega$  که در آن  $\omega$  یک مقدار بسیار کوچک (برای مثال  $10^{-10}$ ) است، عبور کند.

## ۲- روش حل عددی

### الف - جریان خارجی

از آن جایی که موقعیت قطبهای  $\omega_n$  نامعلوم است، برای تعیین فواصل  $z_n^v - z_{n-1}^v$  از معادله (۴)، که در آن  $v$  بالانویس تکرار است، باید از معادله (۳) با یک توزیع فرضی اولیه  $\omega_n$  انتگرال گیری شود. اما نقاط همگرایی  $z_n^v$  (رئوس کثیر الاصلاع) در صفحه فیزیکی  $z$  معلوم‌اند. بنابراین با یک توزیع فرضی اولیه از قطبهای  $\omega_n$  به صورت زیر:

$$\omega_n^{v+1} = \begin{cases} \omega_1^v & n = 1, \\ \omega_{n-1}^{v+1} + \frac{|z_n^v - z_{n-1}^c|}{|z_n^v - z_{n-1}^v|} & n = 2, 3, \dots, N \end{cases} \quad (8)$$

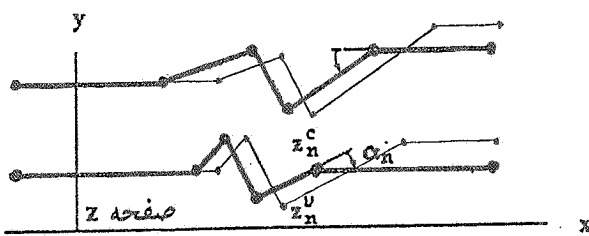
و با تبدیل

$$\xi_n^v = \frac{\xi_n^1}{\xi_N^1} - 1 \quad (9)$$

نقاط  $\omega_n$  به فاصله  $[1, -1]$  محدود می‌شوند. به طوری که

$$-1 \leq \xi_n^v \leq 1, \quad n = 1, 2, \dots, N$$

برای به دست آوردن نقاط  $z_m^v$  متناظر با  $\omega_m^v$  در هر تکرار باید از



شکل ۵- مرز محاسبه شده در طول فرایند تکرار: شکل واقعی —،  
شکل محاسبه شده در تکرار ۷ —

مرحله اول حل شروع می شود. با این حال یک مشکل همچنان در نقطه  $\infty$   $z_{N_1+1}^c$  وجود دارد. از آن جایی که مقدار  $z_{N_1+1}^c$  فقط برای تعیین مقادیر  $z_m^c$  به کار می رود، می توان آن را یک مقدار اختیاری در نظر گرفت، به طوری که این مقدار نباید با هیچ یک از مقادیر  $z_m^c$  ( $m \neq N_1 + 1$ ) مساوی باشد. تجربه ثابت کرده است که هرچه این مقدار اختیاری به حداقلتر مقادیر  $z_m^v$  نزدیکتر باشد، همگرایی سریعتر خواهد بود. بنابراین می توان فرض کرد:

$$z_{N_1+1}^c = 1 + \frac{1}{2}(z_{N_1}^c + z_{N_1+2}^c) \quad (16)$$

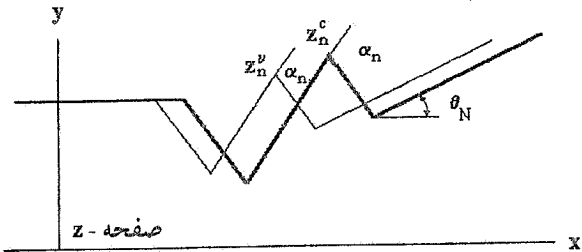
به دست آوردن نقاط  $z_m^v$  متناظر با  $z_m^c$  در هر تکرار باید از  $\theta_m$  به صورت عددی انتگرال گیری کرد. بنابراین:

$$z_m^v = \begin{cases} z_m^c & m = 1, \\ u_{m-1}^v + A \int_{\sigma_{m-1}^v}^{z_m^v} \prod_{n=1}^N (\xi + ie - \sigma_n^v)^{\frac{-a_n}{\pi}} d\xi + B & m = 2, 3, \dots, N \end{cases} \quad (17)$$

که در آن

$$\begin{cases} A = -\frac{h}{\pi} \\ B = z_1^c \end{cases}$$

که مقدار  $h$  فاصله بین مرز پایینی و بالایی مجاور در جهت پاد محور افقی است. بدیهی است که اگر مکانهای  $\sigma_n$  روی محور حقیقی  $\xi$  درست انتخاب شده باشند، نقاط  $z_m^v$  رئوس کثیر الاضلاع در صفحه  $z$  خواهند بود. با این حال، توزیع اولیه نقاط  $\sigma_n$  غالباً صحیح نیست، شکل (۵). از این رو، برای به دست آوردن کثیر الاضلاع در صفحه  $z$  یک فرایند تکرار و تصحیح لازم است.



شکل ۶- مرز محاسبه شده در طول فرایند تکرار: شکل واقعی —،  
شکل محاسبه شده در تکرار ۷ —

بنابراین، مقدار خطأ برابر است با:

$$err_m^v = |z_m^v - z_m^c|, \quad m = 1, 2, \dots, N \quad (18)$$

در صورتی که مقدار  $err_m^v$  به ازای تمام مقادیر  $N = 1, 2, \dots, N$  در حد قابل قبول (برای مثال  $10^{-5}$ ) نباشد، برای تصحیح فاصله بین نقاط  $\sigma_n$  برای تکرارهای بعدی مشابه روش دیویس [۸]، از معادله زیر استفاده می شود:

$$\xi_n^{v+1} = \begin{cases} 0 & n = 1, \\ \xi_{n-1}^{v+1} + \frac{|z_n^c - z_{n-1}^c|}{|z_n^v - z_{n-1}^v|} & n = 2, 3, \dots, N \end{cases} \quad (19)$$

سپس با تبدیل:

$$\xi_n^{v+1} = \frac{\xi_n^{v+1}}{\xi_N^{v+1}} - 1 \quad (20)$$

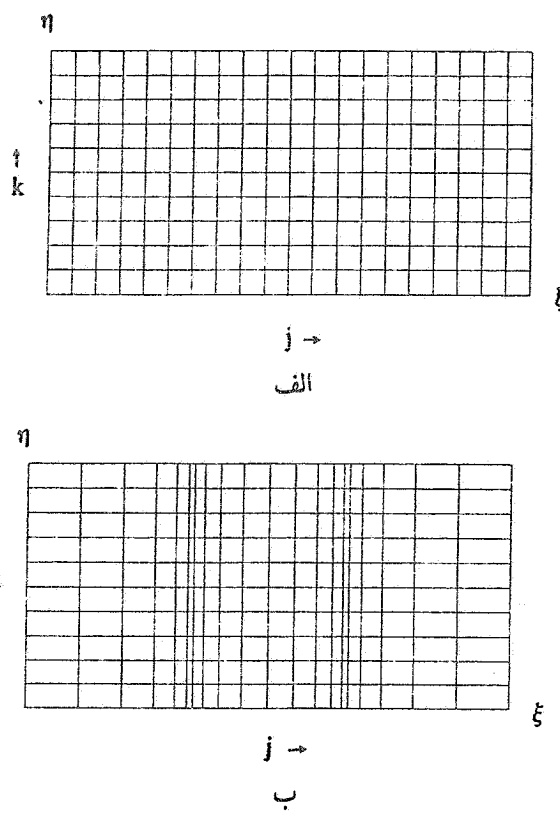
مکان نقاط  $\sigma_n$  مجدداً به فاصله  $[1, -1]$  محدود خواهد شد. در نهایت، با رجوع به معادله (۸) تمام فرایند (۸) تا (۱۴) تا نیل به همگرایی ادامه می یابد.

### ب- جریان داخلی

همانند جریان خارجی معادله (۷) باید با یک توزیع فرضی اولیه  $\sigma_n$  انتگرال گیری شود. بنابراین با یک توزیع فرضی اولیه از قطبهای  $\sigma_n$  به صورت زیر:

$$\sigma_n^1 = \begin{cases} -N_1 & n = 1, \\ 0 & n = N_1 + 1, \\ 1 & n = N_1 + 2, \\ \sigma_{n-1}^1 + |z_n^c - z_{n-1}^c| & n = N_1 + 3, \dots, N \end{cases} \quad (21)$$

برای مقادیر دیگر



شکل ۶- شبکه (الف) یکنواخت محاسباتی و (ب) واسطه محاسباتی متناظر با مکانهای مطلوب در صفحه فیزیکی استفاده کرد، شکل (۶-ب).

۴-۲ ایجاد شبکه در صفحه فیزیکی  
الف - جریان خارجی  
همین که پارامترهای نگاشت به مقادیر همگرایی خود دست یافته، سیستم مختصات می‌تواند با انتگرال‌گیری از تابع تبدیل (۱) در جهت مناسب به دست آید. تابع

$$z_{j,1}(\omega_{j,1}) = A^c \int_{\xi_1^c}^{\omega_{j,1}} \prod_{n=1}^N (\omega + i\varepsilon - \xi_n^c)^{-\frac{a_n}{\pi}} d\omega + B \quad (22)$$

که در آن  $A^c$  و  $\xi_n^c$  در آخرین تکرارند، هر نقطه  $\omega_{j,1}$  روی محور حقیقی صفحه محاسباتی (یا صفحه محاسباتی واسطه) را به نقاط  $z_{j,1}$  در صفحه فیزیکی نگاشت می‌کند. از این رو تابع

$$z_{jk}(\omega_{jk}) = z_{jk-1} + A^c \int_{\omega_{jk-1}}^{\omega_{jk}} \prod_{n=1}^N (\omega + i\varepsilon - \xi_n^c)^{-\frac{a_n}{\pi}} d\omega + B \quad (23)$$

از آن جایی که مقدار  $z_{N+1}^v$  فقط برای تصحیح مقادیر  $\sigma_{n+1}^{v+1}$  به کار می‌رود و نقش دیگری در محاسبات ندارد، بنابراین در هر مرحله تکرار، می‌توان نوشت:

$$z_{n+1}^v = z_{n+1}^c \quad (18)$$

معیار سنجش خطای تمام نقاط  $N = 1, 2, \dots, m$  در هر تکرار، اختلاف فاصله بین نقاط  $z_m^v$  به دست آمده و نقاط  $z_m^c$  است. بنابراین،

$$\text{err}_m^v = |z_m^v - z_m^c|, \quad m = 1, 2, \dots, N \quad (19)$$

مانند جریانهای خارجی در صورتی که مقدار  $\text{err}_{in}^v$  به ازای مقادیر  $N = 1, 2, \dots, m$  در حد قابل قبول (برای مثال  $10^{-5}$ ) نباشد، برای تصحیح فاصله بین نقاط  $\sigma_{n+1}^{v+1}$  برای تکرارهای بعدی از معادله زیر استفاده می‌شود:

$$\sigma_n^{v+1} = \begin{cases} \sigma_v^v & n = 1, \\ \sigma_{n-1}^{v+1} + \frac{|z_n^c - z_{n-1}^c|}{|z_n^v - z_{n-1}^v|} & n = 2, 3, \dots, N \end{cases} \quad (20)$$

سپس با اصلاح

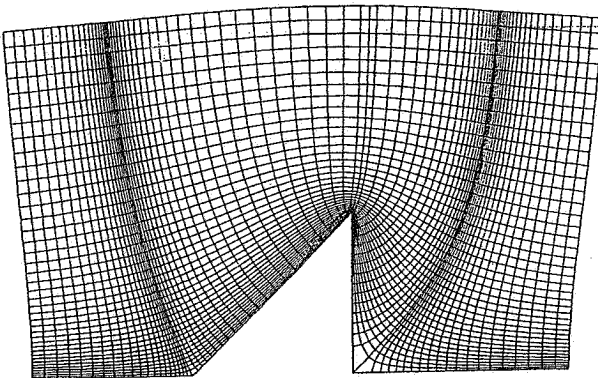
$$\sigma_{n+1}^{v+1} = \sigma_n^{v+1} - \sigma_{N+1}^{v+1} \quad (21)$$

تمام فرایند (۱۵) تا (۲۱) تا نیل به همگرایی ادامه می‌یابد.

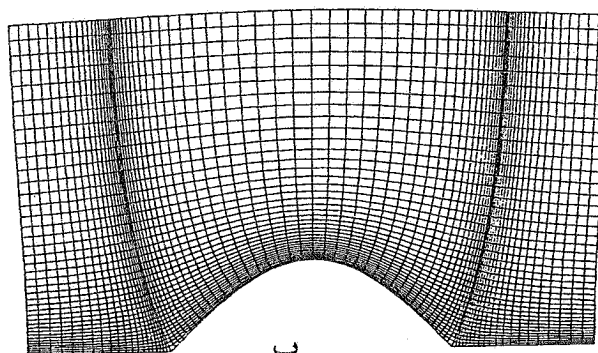
#### ۴-۳ ایجاد شبکه در صفحه محاسباتی

شبکه محاسباتی، شبکه‌ای مستطیلی، یکنواخت و موازی محورهای مختصات در نیم صفحه فوقانی صفحه محاسباتی است. از این رو با مشخص کردن مرزهای این میدان به راحتی می‌توان شبکه‌ای مستطیلی و یکنواخت در صفحه محاسباتی ایجاد کرد، شکل (۶-الف).

برای تجمع شبکه در مکانهای با گرادیان شدید حل در میدان فیزیکی، می‌توان از یک تبدیل جبری برای انتقال میدان محاسباتی یکنواخت به صفحه محاسباتی واسطه با تجمع خطوط شبکه



الف



ب

شکل ۷- شبکه جریان پتانسیل برای (الف) شیب  $45^\circ$  و (ب) تپه کسینوسی

نشان داده شده است. در اینجا منحنی  $\zeta$  با یک  $40^\circ$  ضلعی تقریب زده شده است. برای نیل به همگرايی لازم و دقت  $10^{-5}$ ، تعداد ۶ مرحله تکرار لازم است.

به منظور ایجاد شبکه جریان نواحی همبند چند گانه با تقارن محوری نظری ایرفویلهای متقارن، می‌توان پروفیل نیمه بالایی (یا پایینی) منحنی ایرفویل را با یک کثیر الاضلاع تقریب زده و سپس شبکه جریان حول آنرا به دست آورد. در شکل (۸-الف) شبکه جریان ایده آل دو بعدی حول یک ایرفویل متقارن  $18-0.65m$ -NACA $18-0.65m$  نشان داده شده است. منحنی نیمه بالایی ایرفویل یک  $25^\circ$  ضلعی در نظر گرفته شده است [۹]. برای به دست آوردن مقادیر همگرايی  $A^C$  و  $\zeta$  با دقت  $10^{-5}$  تعداد ۶ مرحله تکرار لازم است.

در شکل (۸-ب) شبکه جریان دو بعدی حول نیمرخ یک خودرو نشان داده شده است. منحنی نیمرخ اتومبیل توسط یک  $32^\circ$  ضلعی تقریب زده شده است و تعداد مراحل تکرار برای نیل به همگرايی برابر  $14$  است.

هر نقطه  $jk$  شبکه واقع در نیم صفحه فوقانی صفحه محاسباتی را به نقاط  $z_{jk}$  شبکه واقع در صفحه فیزیکی نگاشت می‌کند.

### ب - جریان داخلی ابتدا تابع

$$\xi(\omega_{jk}) = e^{\omega_{jk}} \quad (24)$$

شبکه محاسباتی  $\omega$  را به شبکه جریان برای یک چشم (یا چاه) در نقطه  $(0, 0)$  در صفحه  $\zeta$  نگاشت می‌کند. در این صورت تابع

$$z_j = A \int_{\sigma_1}^{\zeta_j} \prod_{n=1}^N (\zeta + i\varepsilon - \sigma_n^c)^{-\frac{a_n}{\pi}} d\zeta + B \quad (25)$$

که در آن  $\sigma_n^c$  مقدار همگرايی  $\tilde{h}_n^c$  در آخرین تکرار است هر نقطه  $jk$  روی محور حقيقی صفحه محاسباتی (یا صفحه محاسباتی واسطه) را به نقاط  $z_{jk}$  در صفحه فیزیکی نگاشت می‌کند. در نهايیت، تابع

(26)

$$z_{jk}(\zeta_{jk}) = z_{jk-1} + A \int_{\zeta_{jk-1}}^{\zeta_{jk}} \prod_{n=1}^N (\zeta + i\varepsilon - \sigma_n^c)^{-\frac{a_n}{\pi}} d\zeta + B$$

هر نقطه  $jk$  شبکه در نیم صفحه فوقانی  $\zeta$  را به نقاط  $z_{jk}$  در صفحه  $z$  نگاشت خواهد کرد.

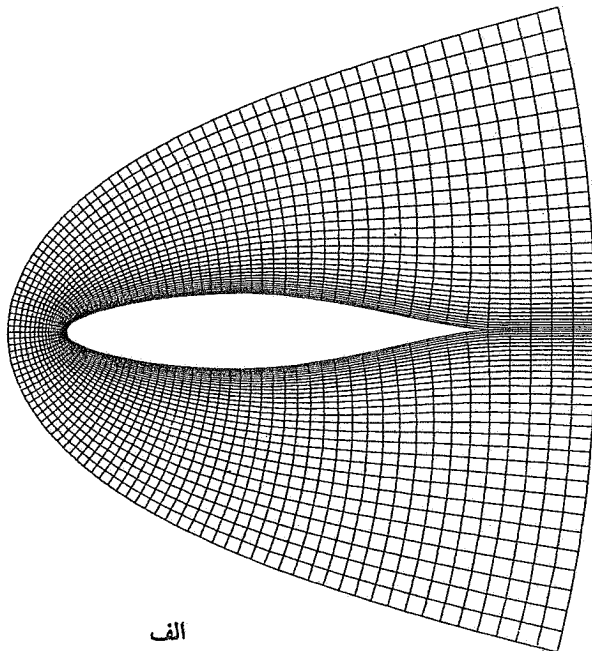
### ۳- ارائه نتایج

#### الف - جریان داخلی

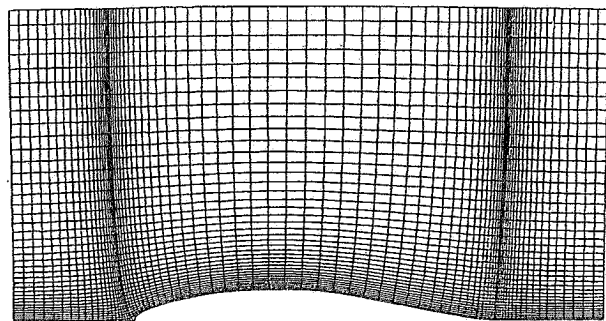
مرز میدان فیزیکی ممکن است یک ناحیه همبند ساده یا همبند چند گانه باشد. برای نواحی همبند ساده یا همبند چند گانه با تقارن محوری، شبکه ایجاد شده می‌تواند منطبق بر حل یک جریان پتانسیل معادل باشد. به عنوان اولین مثال از کاربرد این روش، جریان روی یک برآمدگی  $45^\circ$  در شکل (۷-الف) نشان داده شده است. برای به دست آوردن مقادیر همگرايی  $A^C$  و  $\zeta$  با دقت  $10^{-5}$  تعداد ۱۶ مرحله تکرار لازم است.

در شکل (۷-ب) شبکه جریان روی یک تپه با معادله

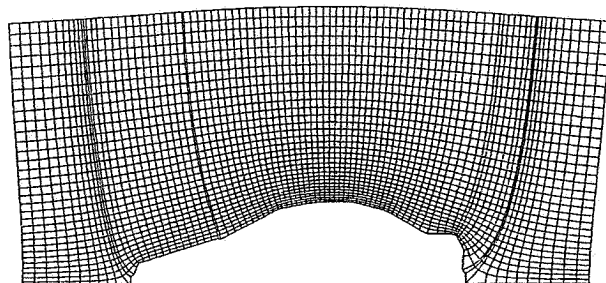
$$y = \cos x, \frac{-\pi}{2} \leq x \leq \frac{\pi}{2}$$



الف

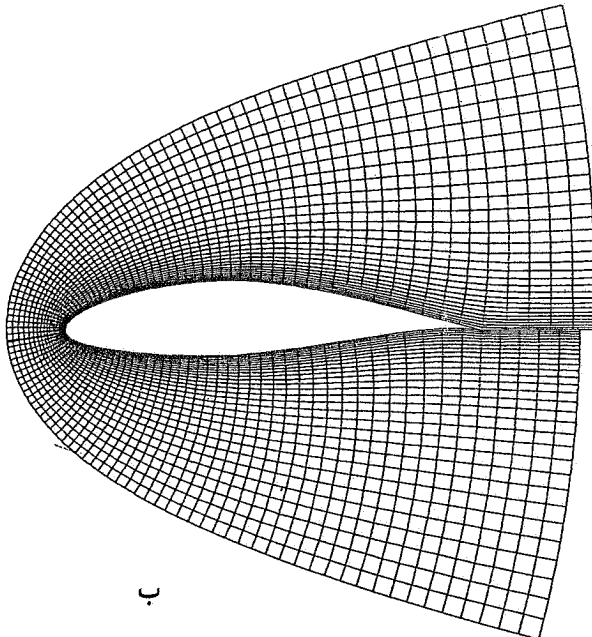


الف



ب

شکل ۸- شبکه جریان پتانسیل برای (الف) ایرفویل متقارن NACA۶۵-۰۱۸ و (ب) نیمرخ خودرو



ب

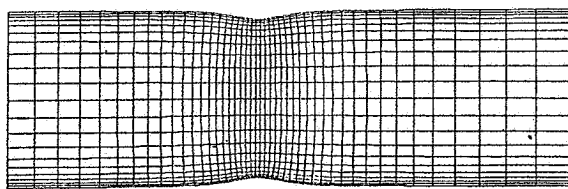
شکل ۹- شبکه نوع C برای (الف) ایرفویل متقارن NACA۶۴-۰۱۸ و (ب) ایرفویل نامتقارن NACA۶۵-۰۱۸

یک مسأله با مرزهای دلخواه مطابق شکل (۱۰ - الف) را در نظر بگیرید. برای به دست آوردن مقادیر همگرایی  $\eta^C$  با دقت  $10^{-5}$  تعداد ۳۶ مرحله تکرار لازم است. شکل (۱۰ - ب) جریان درون یک مسأله را با انبساط سطح مقطع نشان می‌دهد. تعداد مراحل تکرار برای نیل به همگرایی برابر ۲۳۴ است.

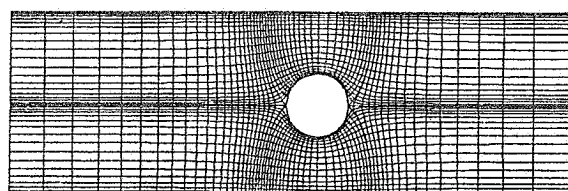
برای نواحی همبند چند گانه کلی در میدان فیزیکی می‌توان یک شبکه نوع C ایجاد کرد. برای مثال در شکل (۹ - الف) یک شبکه نوع C حول ایرفویل متقارن NACA۶۵-۰۱۸ ایجاد شده است. در این جا کل منحنی ایرفویل توسط یک  $50 \times 50$  ضلعی تقریب شده است. تعداد مراحل تکرار برای نیل به همگرایی برابر ۲۳ است. در شکل (۹ - ب) شبکه نوع C برای یک ایرفویل نامتقارن NACA۶۴-۰۱۸ ارائه شده است. منحنی ایرفویل با یک  $50 \times 50$  ضلعی تقریب زده شده است و تعداد مراحل تکرار برای نیل به همگرایی برابر ۱۵۵ است.

لازم به توضیح است که زمان لازم برای انجام محاسبات به تعداد مراحل تکرار و تعداد نقاط شبکه بستگی دارد. مثلاً، برای تولید یک شبکه  $61 \times 21$  زمان ۱۵۲ ثانیه روی یک کامپیوتر سازگار با ۴۸۶ IBM لازم است.

**ب - جریان داخلی**  
در جریان داخلی، شبکه منطبق بر حل یک جریان پتانسیل معادل است. به عنوان اولین مثال از کاربرد این روش، جریان درون



الف



ب

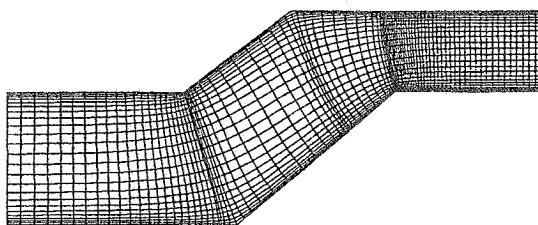
شکل ۱۱- شبکه جریان درون مجرایی با (الف) کاهش هموار سطح مقطع و (ب) یک مانع استوانه ای

[۱۰]. دقت روش از مرتبه پنجم است. از ویژگیهای این روش در برگرفتن تمامی اشکال با هندسه‌های گوناگون در جریانهای خارجی و داخلی، توانایی تولید شبکه‌های متعماد و کنترل فضای شبکه داخلی، چند گانه مقارن در جریانهای خارجی، شبکه می‌تواند همبند چند گانه متمتیکاً نوشته شده باشد. برای شکلهای منطبق بر حل جریان پتانسیل سیال تراکم ناپذیر باشد. برای شکلهای دو بعدی همبند چند گانه کلی در جریانهای خارجی، یک شبکه نوع C تولید می‌شود. در ضمن متريک‌های تبدیل دارای توزیع هموارند [۳].

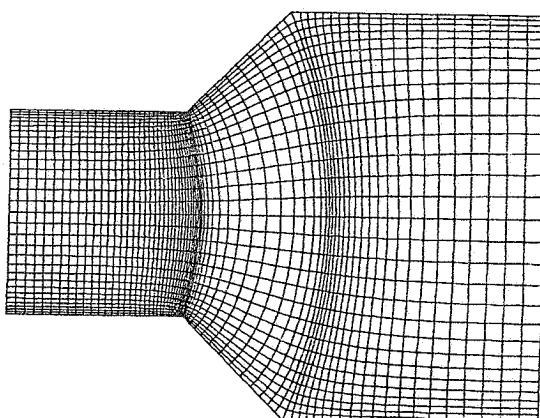
به منظور تسهیل در انجام محاسبات یک برنامه کامپیوتی در محیط متمتیکا نوشته شده است [۱۰]. با استفاده از توابع موجود در این برنامه کامپیوتی می‌توان با دادن اطلاعات هندسی جریان در صفحه فیزیکی و همچنین مرزهای میدان محاسباتی، شبکه متعماد در صفحه فیزیکی را با استفاده از تبدیل شوارتز-کریستوفل به دست آورده.

#### قدردانی

نویسندهای مایلند مراتب تشکر و قدردانی خود را از همکاری‌های مرکز بین‌المللی علوم و تکنولوژی پیشرفته و علوم محیطی که آنان را در تهیه مقاله یاری کرده‌اند، اعلام دارند.



الف



ب

شکل ۱۰- شبکه جریان درون مجرایی با (الف) مرزهای دلخواه و (ب) انساط سطح مقطع

در شکل ۱۱- (الف) جریان درون مجرایی با کاهش هموار سطح مقطع نشان داده شده است. تعداد مراحل تکرار برای نیل به همگرایی برابر ۶۹ است. در نهایت، شکل (۱۱- ب) جریان درون یک مجرایی با یک مانع استوانه ای را نشان می‌دهد. مرز نیم دایره توسط یک ۴۰ ضلعی تقریب زده شده است و تعداد مراحل تکرار برای همگرایی برابر ۱۳۵۶ است.

#### ۴- نتیجه گیری

در این مقاله، روش تولید شبکه متعماد منطبق بر مرز برای تنوع گستردهای از اجسام در جریانهای داخلی و خارجی بر پایه انتگرال گیری عددی از تبدیل شوارتز-کریستوفل ارائه شده است. برای اولین مرتبه در این مورد از نرم افزار متمتیکا به دلیل تواناییهای بالای آن در انجام عملیات سمبولیک، عددی و گرافیکی استفاده شده است

1. Mathematica      2. conformal mapping      3. airfoils

## مراجع

1. Thompson, J. F., Warsi Z. U. A., and Mastin C. W., *Numerical Grid Generation foundation and Applications*, North Holland, 1985.
2. Milne-Thomson, L. M., *Theoretical Hydrodynamics*, 4th ed., Macmillan, New York, 1960.
3. Fletcher, C. A. J., *Computational Techniques for Fluid Dynamics*, 2nd ed., Springer-Verlag, Berlin, 1991.
4. Ives, D. C., *Conformal Grid Generation, in Numerical Grid Generation*, ed. by J. F. Thompson, North Holland, 1982.
5. Thompson, J. F., Warsi, Z. U. A., and Mastin, C. W., "Boundary-Fitted Coordinate Systems for Numerical Solution of Partial Differential Equations: A Review," *Journal of Computational Physics*, Vol. 47, pp. 1-108, 1982.
6. Ives, D. C., "A Modern Look at Conformal Mapping Including Multiply-Connected Regions," *AIAA Journal*, Vol. 14, pp. 1006-1011, 1976.
7. Moayeri, M. S., and Taghdiri, M. A., "Boundary-Conforming Orthogonal Grids for Internal Flow Problems," *Iranian Journal of Science & Technology*, Vol. 17, No. 3, pp. 191-201, 1993.
8. Sridhar, K. P., and Davis, R. T., "A Schwarz-Christoffel Method for Generating Two Dimensional Flow Grids," *Journal of Fluid Engineering*, Vol. 107, pp. 330-337, 1985.
9. Abbot, Z. H., and Von Doenhoff, A. E., *Theory of Wing Sections*, Dover Publisher, 1949.
10. Hosseini Sarvari, S. M., *MasCad, A Mathematica Package for Grid Generation*, International Center for Science & High Technology & Environmental Sciences, Kerman, 1996.